

Plan du cours

1. Introduction
2. Statistique descriptive - séries univariées
3. Calcul des probabilités
4. Arbres de décision
5. Variables aléatoires et lois de probabilité
6. Statistique descriptive - séries bivariées
7. Méthodes de prévision

2019/2020

290

290

Prévisions ?

Mobile phone parts makers say can't meet demand*Reuters, Fri December 5, 2003 02:49 AM ET*

By Baker Li

TAIPEI, Dec 5 (Reuters) - Makers of handset components in Taiwan are struggling to supply big mobile phone companies with colour displays and camera lenses, and one company said the shortage of parts would continue into next year.

The problems are running through the supply chain, the component makers said on Friday, hampering phone makers' efforts to meet booming Christmas demand for camera phones.

...

2019/2020

291

291

Série chronologique (SC)

- Suite de valeurs observées d'une variable Y au cours du temps.
- Instants d'observation :

$$\{t_1, t_2, \dots, t_n\}$$

- Valeurs observées :

$$\{y_{t_1}, y_{t_2}, \dots, y_{t_n}\}$$

2019/2020

292

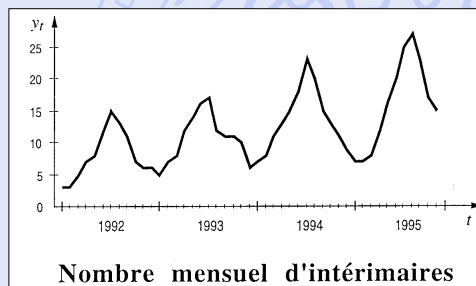
292

Hypothèses simplificatrices

- Dates d'observations sont équidistantes,
- Unité de temps :

$$\{y_1, y_2, \dots, y_t, \dots, y_n\}$$

- Exemple :



2019/2020

293

293

Classification

- Variables d'intensité :
 - Niveau - à un moment donné
 - Exemples :
 - Température, taux de change, stocks, ...
- Variables de débit :
 - Flux - sur une période donnée
 - Exemples :
 - Production, ventes, accidents de la route, ...

2019/2020

294

294

Prévisions

- À court terme :
 - Ventes, météo, ...
- À moyen terme :
 - Rendements financiers, ...
- À long terme :
 - Besoins énergétiques, infrastructures, ...
- Origine de la prévision (T) : moment où la prévision est faite,
- Horizon de la prévision (h) : intervalle entre T et l'instant pour lequel la prévision est faite.
- Prévision ponctuelle :

2019/2020

$$\hat{y}_T(h)$$

295

295

Composantes d'une SC

- T = tendance,
 - C = composante cyclique,
 - S = composante saisonnière,
 - E = composante résiduelle (irrégulière).
- Principe de décomposition d'une SC :
- Identifier les 4 composantes.

Modèles

- Modèle additif :

$$y_t = T_t + \underbrace{C_t}_{f_t} + S_t + E_t$$

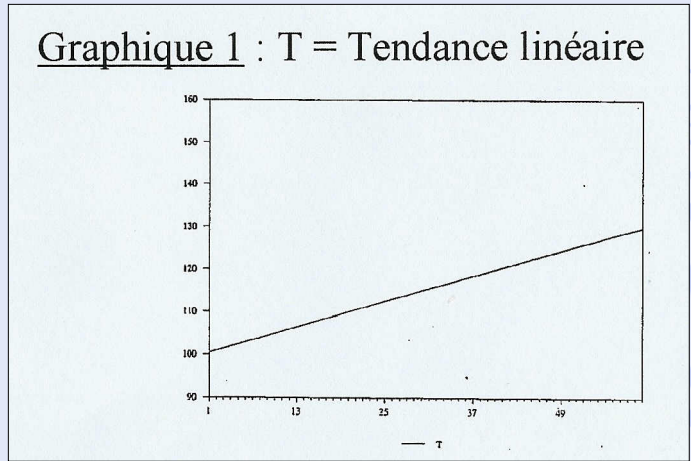
- Modèle multiplicatif :

$$y_t = T_t \times \underbrace{C_t}_{f_t} \times S_t \times E_t$$

- Modèle mixte : combinaison des deux.

Modèle additif

Graphique 1 : $T =$ Tendence linéaire



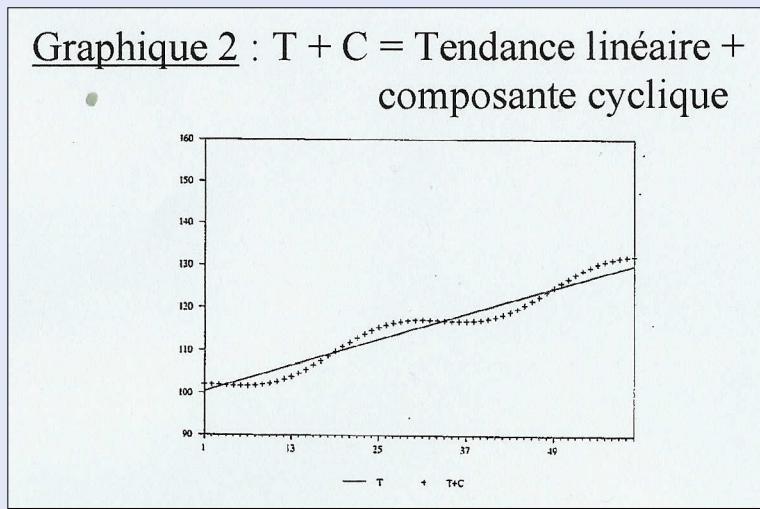
2019/2020

298

298

Modèle additif

Graphique 2 : $T + C =$ Tendence linéaire +
composante cyclique



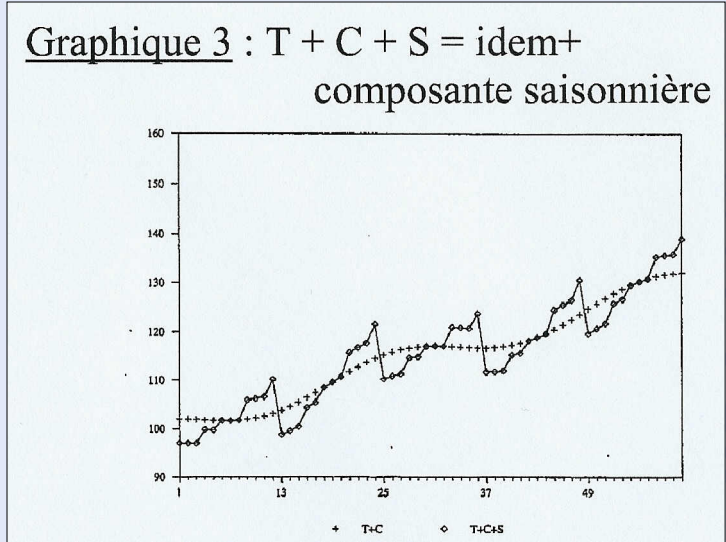
2019/2020

299

299

Modèle additif

Graphique 3 : $T + C + S = \text{idem} +$
composante saisonnière



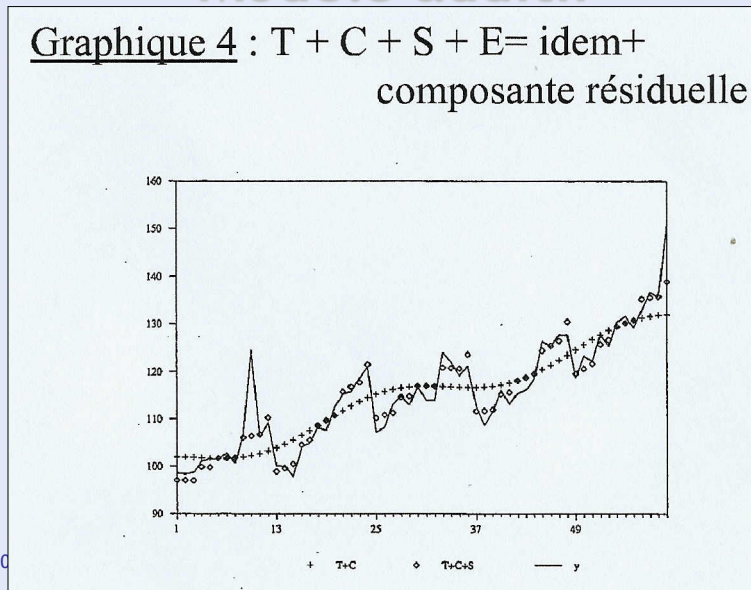
2019/2020

300

300

Modèle additif

Graphique 4 : $T + C + S + E = \text{idem} +$
composante résiduelle



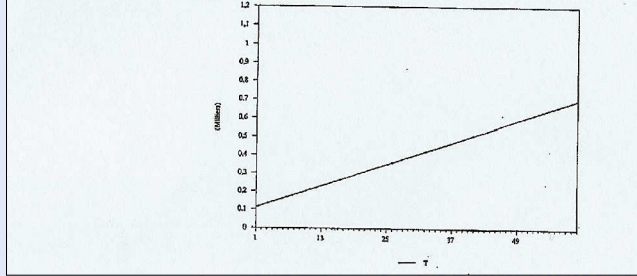
2019/20

301

301

Modèle multiplicatif

Graphique 1 : $T =$ Tendence linéaire



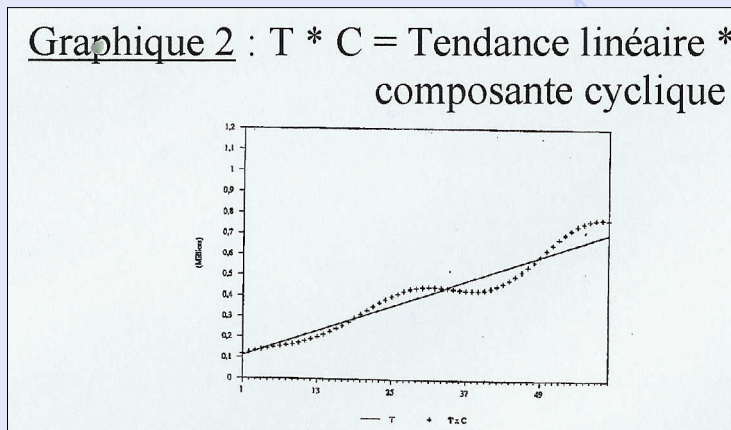
2019/2020

302

302

Modèle multiplicatif

Graphique 2 : $T * C =$ Tendence linéaire *
composante cyclique



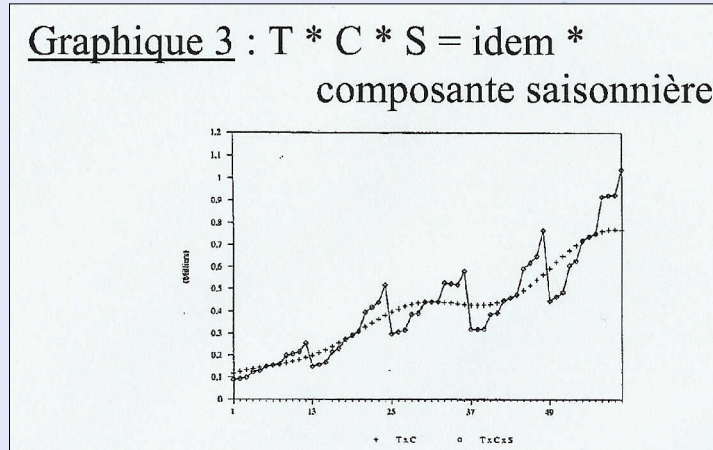
2019/2020

303

303

Modèle multiplicatif

Graphique 3 : $T * C * S = idem *$
composante saisonnière



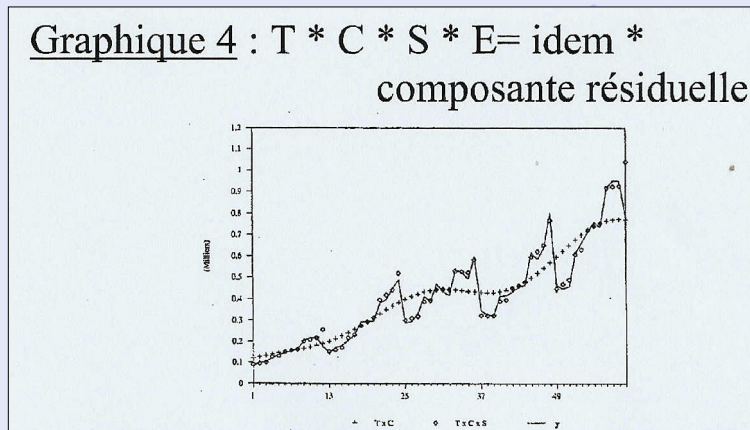
2019/2020

304

304

Modèle multiplicatif

Graphique 4 : $T * C * S * E = idem *$
composante résiduelle



2019/2020

305

305

Composantes d'une SC

- T = tendance,
 - C = composante cyclique,
 - S = composante saisonnière,
 - E = composante résiduelle (irrégulière).
- Principe de décomposition d'une SC :
- Identifier les 4 composantes.

2019/2020

306

306

Décomposition

- Etude de la tendance
 - Etude de la composante saisonnière
- Méthodes de prévision.

2019/2020

307

307

Etude de la tendance

- Ajustement graphique
- Filtres linéaires (moyenne mobile)
- Ajustement analytique
 - Différences
 - Tendance linéaire
 - ...

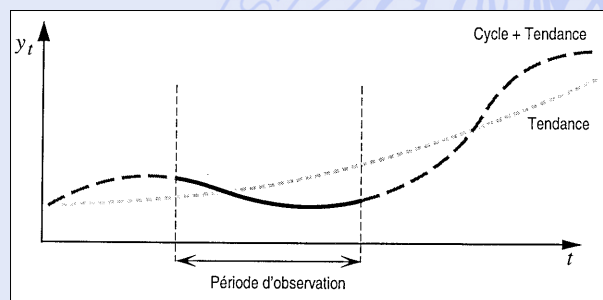
2019/2020

308

308

Approche exploratoire

- Difficile...
 - Lié à la longueur de la série,
 - ...



2019/2020

309

309

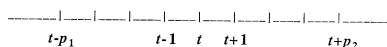
Filtres linéaires

S.C. : $\{y_1, \dots, y_t, \dots, y_n\}$

a) Valeur filtrée linéairement

$$y_t^* = \sum_{j=-p_1}^{p_2} w_j y_{t+j} \quad \begin{cases} p_1, p_2 \in \mathbb{N} \\ w_j \in \mathbb{R} \end{cases}$$

↓



⇒ Série filtrée :

$$\{y_{p_1+1}^*, y_{p_1+2}^*, \dots, y_t^*, \dots, y_{n-p_2}^*\}$$

N.B. : w_j est indépendant de t

310

Moyennes mobiles (MM)

1°) Définition :

$$\bar{y}_t = \sum_{j=-p_1}^{p_2} w_j y_{t+j} \quad \text{où } \sum_j w_j = 1$$

- En général, on suppose $w_j > 0$
- Ordre de la MM : $k = p_1 + p_2 + 1$
- Si $p_2=0$ (ou $p_1=0$) : MM unilatérale
- Notation explicite :

$$MM(k) = [w_{-p_1}, w_{-p_1+1}, \dots, w_{p_2}]$$

311

Classification des MM

	symétrique	non symétrique
s i m p l e	$p_1 = p_2 = p$ $w_j = \frac{1}{2p+1} = \frac{1}{k}$	$p_1 \neq p_2$ $w_j = \frac{1}{p_1 + p_2 + 1} = \frac{1}{k}$
p o n d é r é	$p_1 = p_2 = p$ $w_j = w_{-j} (\forall j)$ $w_j : \text{non tous égaux}$	$p_1 \neq p_2$ ou bien $w_j \neq w_{-j}$ pour au moins un j $w_j : \text{non tous égaux}$

$t-1 \quad t \quad t+1$

2019/2020

312

312

MM simple

- Si k est impair ($k=2p+1$) :

$$MM(k) = \left[k \times \frac{1}{k} \right]$$
- Exemple : ventes de baguettes (Q.S., p. 12)

$$MM(7) : y_t^* = \frac{1}{7} \sum_{j=-3}^3 y_{t+j} \quad (t = 4, \dots, 17)$$

- Remarque :
La série filtrée des $MM(k)$ contient $(n-2p)$ valeurs

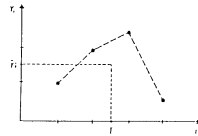
2019/2020

313

313

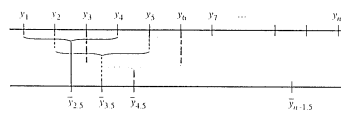
MM centrée

- Si k est pair :

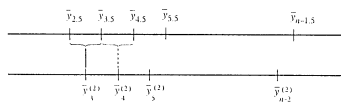


- Exemple (ELST, p. 421) : $k = 4$

(α) MM(4)



(β) MMC (4)



MM centrée

- $\bar{y}_3^{(2)} = \frac{y_{2.5} + y_{3.5}}{2}$

$$= \frac{1}{4}(y_1 + y_2 + y_3 + y_4) + \frac{1}{4}(y_2 + y_3 + y_4 + y_5)$$

$$= \frac{y_1 + 2y_2 + 2y_3 + 2y_4 + y_5}{8}$$

\Rightarrow MM symétrique pondérée

- Notation :

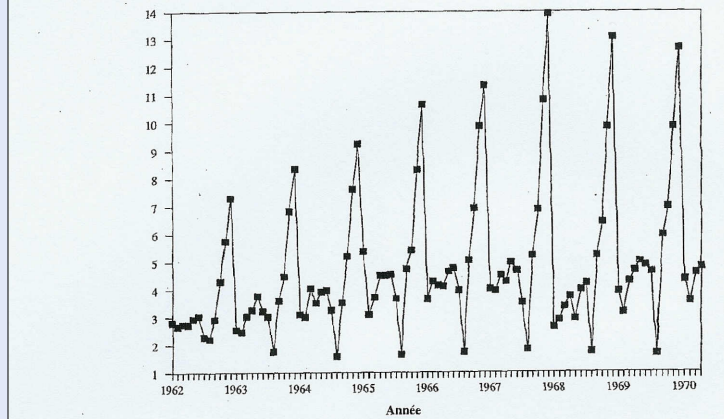
MMC (4) = MM (2) de MM (4)

$$= \left[4 \times \frac{1}{4} \right] \left[2 \times \frac{1}{2} \right] = \left[\frac{1}{8}, 3 \times \frac{1}{4}, \frac{1}{8} \right]$$

N.B. : MMC (4) = MM (4) de MM (2)

Ordre d'une MM ?

Figure 4.3 Les ventes de champagne en France : les données.



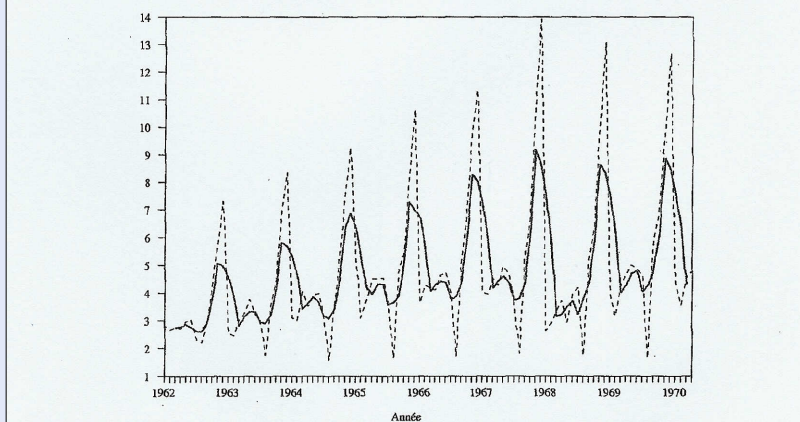
2019/2020

316

316

Ordre d'une MM ?

Figure 4.4 Les ventes de champagne en France : les données (en traits discontinus) et les moyennes mobiles d'ordre 4.



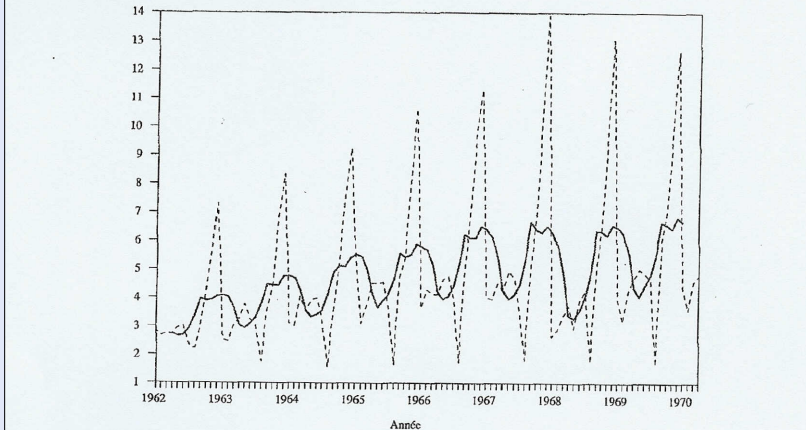
2019/2020

317

317

Ordre d'une MM ?

Figure 4.5 Les ventes de champagne en France : les données (en traits discontinus) et les moyennes mobiles d'ordre 7.



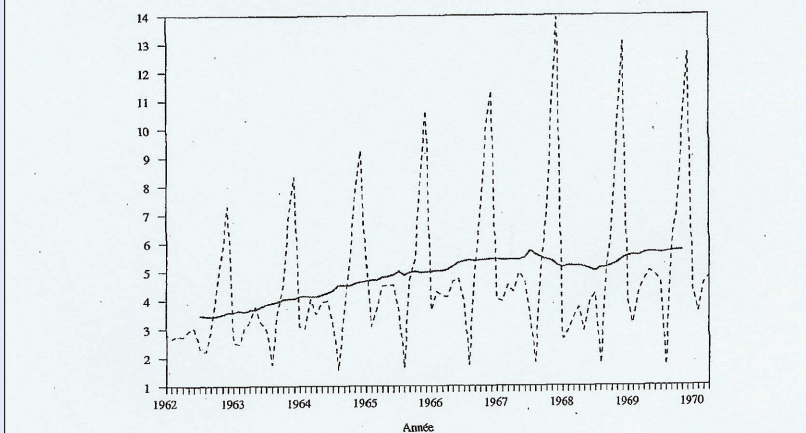
2019/2020

318

318

Ordre d'une MM ?

Figure 4.6 Les ventes de champagne en France : les données (en traits discontinus) et les moyennes mobiles d'ordre 12.



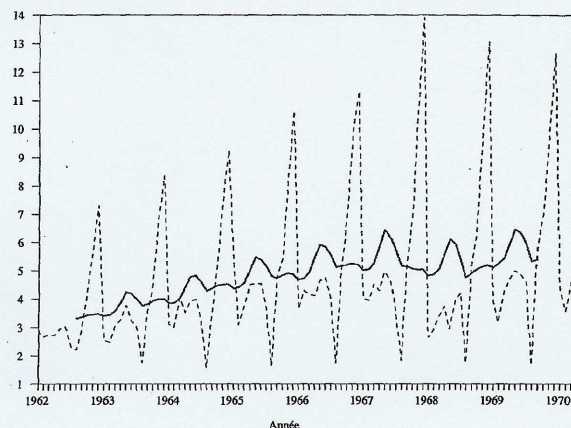
2019/2020

319

319

Ordre d'une MM ?

Figure 4.7 Les ventes de champagne en France : les données (en traits discontinus) et les moyennes mobiles d'ordre 15.

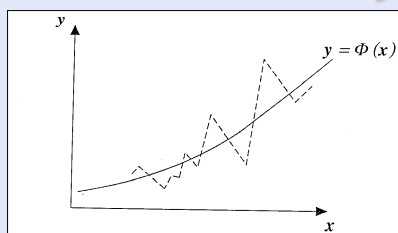


2019/2020

320

320

Ajustement analytique



$$y = \Phi(x : a_1, a_2, \dots, a_r) \text{ où } x = \text{temps}$$

a) Choix de $\Phi(x)$

1°) Ajustements graphiques :

$$\{y_t\}, \{\varphi(y_t)\} - \text{par exemple } \{\log y_t\} -,$$

{données agrégées} - par exemple
moyennes annuelles -,

{données filtrées} - par exemple moyennes
mobiles -, ...

2019/2020

321

321

Ajustement analytique

2°) Différences :

a) *Différence d'ordre 1 :*

$$\nabla y_t = y_t - y_{t-1}$$

b) *Différence d'ordre supérieur à 1 :*

$$\nabla^2 y_t = \nabla y_t - \nabla y_{t-1}, \dots$$

g) *Propriétés :*

(i) Si $y_t = a + bt$:

$$\nabla y_t = y_t - y_{t-1} = (a + bt) - [a + b(t-1)] = b$$

$$\nabla^2 y_t = \nabla y_t - \nabla y_{t-1} = b - b = 0$$

(ii) Si $y_t = a + bt + ct^2$:

$$\nabla y_t = 2ct + (b - c);$$

$$\nabla^2 y_t = 2c; \quad \nabla^3 y_t = 0$$

2019/2020

322

322

Ajustement analytique

- Détermination des paramètres ?
 - Tendence linéaire ?
 - Régression linéaire.
 - Linéarisation de la tendance
 - Tendence polynomiale

2019/2020

323

323

Composante saisonnière

- S : composante périodique de J "saisons"
- y_{ij} = observation pour la i -ème période et la j -ième saison ($i=1, \dots, I; j=1, \dots, J$)

i	j	1	...	j	...	J
1		y_{11}	...	y_{1j}	...	y_{1J}
.		.		.		.
.		.		.		.
i		y_{i1}	...	y_{ij}	...	y_{iJ}
.		.		.		.
.		.		.		.
I		y_{I1}	...	y_{Ij}	...	y_{IJ}

2019/2020

Exemple : Si $J = 12$: série mensuelle

324

324

Modèle additif

a) *Modèle*

$$y_{ij} = f_{ij} + S_{ij} + E_{ij}$$

où $f_{ij} = T_{ij} + C_{ij}$ ($i = 1, \dots, I; j = 1, \dots, J$)

b) *Hypothèse de rigidité de S (H_r)*

$$S_{ij} = S_j$$

⇒ Il faut déterminer S_1, S_2, \dots, S_J

c) *Critère des M.C.*

$$\text{Min } Q = \sum_i \sum_j E_{ij}^2 = \sum_i \sum_j (y_{ij} - f_{ij} - S_j)^2$$

2019/2020

325

325

Modèle additif

d) *Méthode de comparaison à la moyenne d'une période*

1°) *Objectif (rappel) :*

$$\text{Min } Q = \sum_i \sum_j (y_{ij} - f_{ij} - S_j)^2$$

2°) *Hypothèses supplémentaires :*

$$H_p : f_{ij} = f_i \quad (i = 1, \dots, I)$$

$$H_c : \frac{1}{J} \sum_j S_j = 0$$

N.B. H_c est appelé "Hypothèse de conservation des aires"

3°) *Système d'équations normales :*

$$\frac{\partial Q}{\partial S_j} = 0 \quad \text{et} \quad \frac{\partial Q}{\partial f_i} = 0 \quad \begin{cases} j = 1, \dots, J \\ i = 1, \dots, I \end{cases}$$

2019/2020

326

326

Modèle additif

4°) *Solution :*

$$\begin{aligned} \alpha) \quad \frac{\partial Q}{\partial S_j} &= (-2) \sum_i (y_{ij} - f_i - S_j) \\ \Rightarrow \frac{\partial Q}{\partial S_j} = 0 &\Leftrightarrow \sum_i (y_{ij} - f_i) - IS_j = 0 \\ &\Leftrightarrow S_j = \frac{1}{I} \sum_i (y_{ij} - f_i) \end{aligned}$$

$$\begin{aligned} \beta) \quad \frac{\partial Q}{\partial f_i} &= (-2) \sum_j (y_{ij} - f_i - S_j) \\ \Rightarrow \frac{\partial Q}{\partial f_i} = 0 &\Leftrightarrow \sum_j y_{ij} - J f_i - \sum_j S_j = 0 \\ &\Leftrightarrow f_i = \frac{1}{J} \sum_j y_{ij} - \frac{1}{J} \sum_j S_j = \bar{y}_i \end{aligned}$$

$\gamma)$ *En résumé :*

$$f_i = \bar{y}_i \quad i = 1, \dots, I$$

$$S_j = \frac{1}{I} \sum_i (y_{ij} - \bar{y}_i) \quad j = 1, \dots, J$$

2019/2020

327

327

Modèle additif

e) *Méthode de comparaison à la tendance*

1°) *Hypothèses supplémentaires :*

H_t : T est de forme analytique connue

H_k : C n'existe pas

Conséquence :

$$f_{ij} = T_{ij} \quad [\text{valeur de } T \text{ pour la date } (i, j)]$$

2°) *Système d'équations normales :*

$$\frac{\partial Q}{\partial S_j} = 0 \quad j = 1, \dots, J$$

$$\Leftrightarrow S_j = \frac{1}{I} \sum_i (y_{ij} - T_{ij})$$

2019/2020

328

328

Modèle additif

f) *Méthode de comparaison à la moyenne mobile*

1°) *Hypothèses supplémentaires :*

$$H_c : \frac{1}{J} \sum_j S_j = 0$$

$$H_e : \frac{1}{J} (E_{i,j} + E_{i,j+1} + \dots + E_{i+1,j-1}) = 0$$

H_f : f varie de façon "compensée" sur J saisons consécutives

2°) *Moyennes mobiles MM(J) : M_{ij}*

$$MM(y_{ij}) = MM(f_{ij}) + MM(S_j) + MM(E_{ij})$$

$$\Rightarrow M_{ij} = f_{ij} + 0 + 0$$

3°) *Système d'équations normales :*

$$\frac{\partial Q}{\partial S_j} = 0 \quad j = 1, 2, \dots, J$$

$$\Leftrightarrow S_j = \frac{1}{I-1} \sum_i (y_{ij} - M_{ij})$$

2019/2020

329

329

Modèle additif

g) *Remarques*

1°) On peut remplacer l'usage de la moyenne par celui de la médiane pour déterminer S_j :

$$S_j = \text{méd}_i (y_{ij} - f_{ij})$$

2°) *Correction de conservation des aires :*

$$\text{Si } \sum_j S_j = S \neq 0 :$$

$$S'_j = S_j - \frac{S}{J} \quad j = 1, \dots, J$$

Dans ce cas : $\sum_j S'_j = 0$

2019/2020

330

330

Exemple

1°) *Série chronologique :*

y_{ij}	$j=1$	2	3	4	$\sum_j y_{ij}$	\bar{y}_i
$i=1$	223	1007	1487	535	3252	813
2	195	1063	1475	556	3289	822.25
3	273	1101	1555	591	3520	880
4	271	1109	1539	606	3525	881.25
5	293	1125	1559	637	3614	903.5

2°) *Méthode de comparaison à la moyenne annuelle :*

$y_{ij} - \bar{y}_i$	1	2	3	4
1	-590	194	674	-278
2	-627.25	240.75	652.75	-266.25
3	-607	221	675	-289
4	-610.25	227.75	657.75	-275.25
5	-670.5	221.5	655.5	-266.5
Σ	-3045	1105	3315	-1375
S_j	-609	221	663	-275

2019/2020

331

331

Exemple

3°) *Méthode de comparaison à la tendance :*

En utilisant un ajustement linéaire des moyennes annuelles, on obtient pour équation de la droite de tendance (origine : 1/7/année 3 ; unité : année) :

$$y = 860 + 24x$$

T_{ij}	1	2	3	4
1	803	809	815	821
2	827	833	839	845
3	851	857	863	869
4	875	881	887	893
5	899	905	911	917
$y_{ij} - T_{ij}$	1	2	3	4
1	-580	198	672	-286
2	-632	230	636	-289
3	-578	244	692	-278
4	-604	228	652	-287
5	-606	220	648	-280
Σ	-3000	1130	3300	-1480
S_j	-600	224	660	-284

2019/2020

332

332

Exemple

4°) *Méthode de comparaison à la moyenne mobile :*

Nous calculons à cet effet les MMC(4)

MMC(4)	1	2	3	4
1	-	-	809.6	813
2	818.5	819.6	832	846.5
3	861.25	875.6	879.75	880.5
4	879.5	879.4	884	888.75
5	893.25	899.6	-	-
$y_{ij} - M_{ij}$	1	2	3	4
1	-	-	677.5	-278
2	-623.5	243.4	643	-290.5
3	-588.25	225.4	675.25	-289.5
4	-608.5	229.6	655	-282.75
5	-600.25	225.4	-	-
Σ	-2420.5	923.8	2650.75	-1140.75
S_j	-605.1	230.9	662.7	-285.2
S_j'	-606.0	230.1	661.9	-286.0

2019/2020

333

333

Modèle multiplicatif

a) Hypothèses de base

- **Modèle :** $y_{ij} = f_{ij}(1 + s_{ij})(1 + e_{ij})$

où $f_{ij} = T_{ij} C_{ij}$ ($i = 1, \dots, I; j = 1, \dots, J$)

- **Hypothèse H_r (rigidité de S) :**

$$H_r : 1 + s_{ij} = 1 + s_j$$

b) Transformation des données

$$y_{ij} \rightarrow \log y_{ij}$$

$$\Rightarrow \log y_{ij} = \log f_{ij} + \log(1 + s_j) + \log(1 + e_{ij})$$

\Rightarrow Détermination des coefficients

$$\log(1 + s_1), \dots, \log(1 + s_j)$$

dans un modèle additif $\Rightarrow (1 + s_j)$

2019/2020

334

334

Adaptation du mod. additif

1°) Mode de calcul :

$$1 + s_j = \frac{1}{I} \sum_i \frac{y_{ij}}{f_{ij}}$$

- α) **Méthode des rapports à la moyenne de la période :**

$$f_{ij} = \bar{y}_i$$

- β) **Méthode des rapports à la tendance :**

$$f_{ij} = T_{ij}$$

- γ) **Méthode des rapports à la moyenne mobile :**

$$f_{ij} = M_{ij}$$

2°) Correction de conservation des aires :

$$H_c^s : \frac{1}{J} \sum_j (1 + s_j) = 1 \Leftrightarrow \sum_j (1 + s_j) = J$$

$$\text{Si } \sum_j (1 + s_j) = S \neq J : (1 + s'_j) = (1 + s_j) \frac{J}{S}$$

2019/2020

335

335

Elimination de la tendance

- Détermination préalable de la tendance

- Valeurs de T
- Elimination de T

- Cas additif :

$$y - T$$

- Cas multiplicatif :

$$y/T$$

- Utilisation de différences

- Tendance linéaire : $\nabla y_t = y_t - y_{t-1}$

- Tendance quadratique :

$$\nabla^2 y_t = \nabla y_t - \nabla y_{t-1} = y_t - 2y_{t-1} + y_{t-2}$$

2019/2020

336

336

Désaisonnalisation

- Détermination préalable de S

- Données désaisonnalisées :

- Cas additif :

$$d_{ij} = y_{ij} - S_j$$

- Cas multiplicatif :

$$d_{ij} = y_{ij} / (1 + s_{ij})$$

- Utilisation de différences saisonnières :

$$\nabla_J y_t = y_t - y_{t-J}$$

$$\nabla_J^2 y_t = \nabla_J y_t - \nabla_J y_{t-J}$$

2019/2020

337

337

Méthodes de prévision

- Méthodes extrapolatives simples
- Lissage exponentiel
- Holt-Winters
- Modèles stochastiques
 - ARMA
 - ...

2019/2020

338

338

Méthodes de prévision

. On se place en un instant T :

$T = \text{origine de la prévision}$

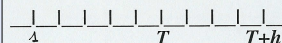
. On dispose de l'historique :

$\{y_1, y_2, \dots, y_T\}$

. On veut prédire la valeur en $(T+h)$:

$h = \text{horizon de la prévision}$

. Prévision : $\hat{y}_T(h)$



. Erreur de prévision :

$e_T(h) = y_{T+h} - \hat{y}_T(h)$

. Cas particulier intéressant : $h=1$

2019/2020

339

339

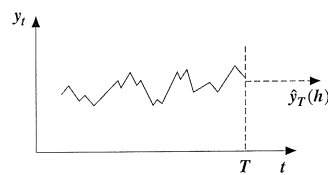
Méthodes extrapolatives simples

a) *Prévision naïve*

$$\hat{y}_T(1) = y_T$$

b) *Prévision par MM unilatérales*

$$\hat{y}_T(h) = \frac{y_T + y_{T-1} + \dots + y_{T-p}}{p+1}$$



N.B. : Les deux méthodes ne sont concevables que si la série ne contient ni composante saisonnière ni composante extra-saisonnière

2019/2020

340

340

Lissage exponentiel

- Prendre en compte les données passées avec des poids dégressifs :

$$\hat{y}_T(1) = \alpha \cdot y_T + (1 - \alpha) \cdot \hat{y}_{T-1}(1)$$

$$\alpha \in (0; 1)$$

$$\hat{y}_T(1) = \alpha \cdot y_T + (1 - \alpha) \cdot [\alpha \cdot y_{T-1} + (1 - \alpha) \cdot \hat{y}_{T-2}(1)]$$

$$\hat{y}_T(1) = \alpha \cdot y_T + (1 - \alpha) \cdot \alpha \cdot y_{T-1} + (1 - \alpha)^2 \cdot \hat{y}_{T-2}(1)$$

$$\hat{y}_T(1) = \alpha \cdot y_T + (1 - \alpha) \cdot \alpha \cdot y_{T-1} + (1 - \alpha)^2 \cdot \alpha \cdot \hat{y}_{T-2} + \dots$$

- Limites:

- Tendence non prise en compte.
- Saisonnalité non prise en compte.

2019/2020

341

341

Lissage exponentiel

- Prise en compte des tendance et/ou saisonnalité :
 - Méthode de Holt-Winters.
 - Méthode de Brown.

2019/2020

342

342

Modèles stochastiques

- Notion de processus stochastique.
- Modèles AR, MA, ARMA, ...
- Avantages :
 - Mesure de l'erreur de prévision.
 - Calcul d'intervalles de prévision.
- Inconvénients :
 - Plus difficiles à mettre en œuvre (identification, estimation).

2019/2020

343

343

En conclusion...

2019/2020

344

344

Inférence statistique ?

- Echantillon vs Population !
- Sondages ?
- Enquêtes d'opinion ?
- Analyses de consommation ?

2019/2020

345

345

Un sondage récent

- Calcul de l'erreur :

- Taille de l'échantillon : $n = 2000$
- Risque d'erreur : 5%
- Supposition (pessimiste) : proportion proche de 50%.
- Formule : $2 \times \sqrt{\frac{1}{4n}} = 2 \times \sqrt{\frac{1}{8000}} = 2.24\%$

$$2 \times \sqrt{\frac{1}{4n}} = 2 \times \sqrt{\frac{1}{4 \times 750}} = 3.65\%$$

$$2 \times \sqrt{\frac{1}{4n}} = 2 \times \sqrt{\frac{1}{4 \times 500}} = 4.47\%$$

2019/2020

346

346

Les Belges parmi les moins croyants d'Europe (24/02/2005 RTL.be)



Selon un sondage réalisé par le magazine Reader's Digest auprès de 8.657 personnes dans quatorze pays européens (dont 503 Belges), les Belges sont parmi les moins croyants d'Europe, en compagnie des Néerlandais et des Tchèques.

Alors que la moyenne européenne est de 71 pc de croyants, en Belgique seulement 58 pc de la population croit en Dieu. C'est en Pologne et au Portugal qu'on retrouve le plus de croyants, avec respectivement 98 pc et 90 pc de la population qui déclarent croire en Dieu.

Le sondage révèle également que le fait de croire en Dieu n'est pas nécessairement lié au fait de croire à l'existence d'une vie après la mort. Ainsi, seuls 37 pc des Belges partagent cet avis. Les Polonais, quant à eux, sont 81 pc à le croire. En moyenne, 53 pc des Européens croient en l'au-delà.



À la question "Selon vous, a-t-on besoin de la religion pour faire la différence entre le bien et le mal?", 86 pc des Polonais répondent oui, contre 32 pc des Belges et 24 pc des Français, qui se retrouvent en fin de classement. En moyenne, 43 pc des Européens jugent que la religion aide à différencier le bien du mal.

La moitié des Européens interrogés estiment également que les grandes religions oeuvrent pour le bien dans le monde. Ce sont les Portugais qui en sont le plus persuadés (79 pc), suivis par les Polonais (78 pc) et les Espagnols (72 pc). Seulement 39 pc des Belges sont de cet avis et ce sont les Néerlandais qui en sont le moins convaincus avec 34 pc de personnes ayant répondu de manière affirmative.



Le sondage constate enfin que l'âge a une forte influence. Ainsi, dans neuf pays sur quatorze, la croyance en Dieu augmente avec l'âge et les personnes âgées sont également plus nombreuses à juger que la religion est nécessaire pour faire la différence entre le bien et le mal.

$$2 \times \sqrt{\frac{1}{4 \times 8657}} = 1\% \quad 2 \times \sqrt{\frac{1}{4 \times 503}} = 4.5\%$$

2019/2020

347

347

ULB UNIVERSITÉ LIBRE DE BRUXELLES

Has tallest tower caused more quakes?

CNN.com Friday, December 2, 2005 Posted: 11:46 GMT (19:46 HKT)

TAIPEI, Taiwan (Reuters) -- Seismic activity in Taipei has increased since the world's tallest building, Taipei 101, was built, raising questions over whether the Taiwan capital has become more vulnerable to earthquakes, a geologist said on Friday.

Lin Cheng-hong, a geologist at the Institute of Earth Sciences at Taiwan's most prestigious think tank, the Academia Sinica, said seismic activity historically had been low in the Taipei basin, home to about 7 million people.

But the city has experienced **more micro-earthquakes** (of magnitude 2.0-2.5 on the Richter scale) **since construction** began on the 508 meter (1,667 foot) skyscraper in 1997, he said.

Two earthquakes of magnitude 3.8 and 3.2 occurred directly beneath Taipei 101 in October 2004 and March 2005, he said.

There is a distinct possibility of earthquakes being triggered by the recent construction of the world's highest building, the imposing Taipei 101. Lin wrote in an article published in the Geophysical Research Letters Vol. 32 on Nov. 30.

"Should seismic activity remain high or, even worse, should it significantly increase, then the possibility of earthquakes being triggered by the high-rise building will become ever so much more of a reality," he wrote.

Taipei 101 spokesman Michael Liu said while he respected the academic's views, the 101-story building was a government-endorsed project that had met environmental and geological standards set by the Taiwan government.

Earthquakes occur frequently in Taiwan, which lies on a seismically active stretch of the Pacific basin, but Taipei itself has suffered minimal tremors in the past as it lies over the western boundary of the Philippine Sea plate.

An earthquake is caused by a sudden slip on a fault in the earth's crust. Stresses in the earth's outer layer push the sides of the fault together until rocks slip suddenly, releasing energy in waves that cause the ground to shake.

Lin said Taipei 101 weighed 700,000 tons and estimated stress from vertical loading on its foundation at 4.7 bars, of which some would be transferred to the earth's upper crust due to extremely soft sedimentary rocks beneath the Taipei basin.

"If a fault is about to crack, then a little pressure can trigger an earthquake. It's like the last straw that breaks the camel's back," Lin told Reuters in a telephone interview.

But that's only a theory, he said, adding that he could not determine whether or not Taipei 101 was responsible for the rise in seismic activity in the area in recent years.

I don't know if it's just coincidence or if they are related, he said. "It's very hard to prove this scientifically, but it's just as hard to disprove it."


Thus, Lin is calling for immediate research into the issue, saying it could have far-reaching implications for other huge structures like the proposed 1,000 meter (3,281 foot) Sky City 1000 in Japan, another quake-prone area.

Earthquakes induced by human activity, such as water dams, have been documented in the United States, Japan, and Canada. But Lin said there were no specific studies into whether high-rise buildings can cause tremors.

He suggested Taiwan install more accurate sensors to monitor tremors -- most of Taiwan's sensors are above ground, unlike Japan, which has over 1,000 monitors hundreds of meters below the earth's surface.

The \$1.7 billion Taipei 101, an office tower and shopping complex, was built to withstand tremors measuring above magnitude 7 and resist gale forces of more than 60 meters a second.

Copyright 2005 Reuters. All rights reserved. This material may not be published, broadcast, rewritten, or redistributed.



348

ULB UNIVERSITÉ LIBRE DE BRUXELLES

Statistique à la SBS

BA1, BA2

Mathématique

Statistique

Informatique

BA3

Méthodes économétriques appliquées à la gestion

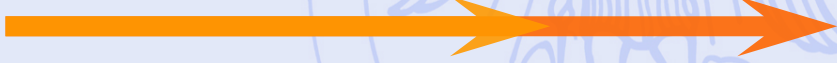
MA

Cours avancés

Recherche opérationnelle

Econométrie

Mémoire



2019/2020 349

349